

II-246 自由水面を考慮した開水路乱流の数値計算

京都大学工学部 正員 池津家久
京都大学工学部 正員 中川博次

1. まえがき

乱流の数値計算手法は現在次の2つに大別される。1つは渦動粘性モデルに基づき Reynolds 方程式を解く手法であるが、渦動粘性を既知量として与えるのではなく、乱れの輸送式を使って方程式系を閉じさせるものであり、代表例にR-Eモデルがある。もう1つの手法は Large Eddy Simulation (LES) であり、計算格子以上の渦をN-S 方程式で、格子以下の渦を局所等方性理論を使ってモデル化するものである。LESは、バースティングなどの組織構造を計算できるから乱流計算には画期的な手法であるが、スーパーコンピュータを用いても数時間要し、まだ工学的レベルに達していない。一方、R-Eモデルは1970年代に英国で開発され、比較的小計算量で管路流や境界層流さらにはより複雑な流れをも合理的に予測できるまでに発展し、係数等は標準値としてすでに確立されている。²⁾ Rodiはにより水力学の分野にR-Eモデルが適用され始めたが、³⁾開水路乱流の場合自由水面の取り扱いが最大の課題である。最近、Calek-Rodiは、主流方向の乱れ強度 σ^2 が自由水面の存在で急減する効果をモデル化したが、係数がさらに上に、後述する係数 C_{μ} がダクト流に比べて急減少するから物理的に傾向である。本研究は、自由水面による乱れの減衰効果をR-Eモデルに導入し、開水路乱流の流速分布及び乱れ特性値を計算したものであり、実測値や理論値とよく一致することが示された。

2. 基礎方程式系

2次元開水路乱流場の支配方程式は、Reynolds 式及び乱れの輸送式を用いて次の同型の微分方程式で構成される。

$$\frac{\partial}{\partial x} (\phi U - \Gamma \frac{\partial \phi}{\partial x}) + \frac{\partial}{\partial y} (\phi V - \Gamma \frac{\partial \phi}{\partial y}) = S_{\phi} \quad (1)$$

ここで、 ϕ は輸送変数、 S_{ϕ} はこれに対応する外力項、 Γ は有効粘性係数であり、以下のように書き下せる。

$$\text{連続式: } \phi = 1, \quad S_{\phi} = 0 \quad (2)$$

$$U \text{ 方程式: } \phi = U, \quad \Gamma = U_t + V, \quad S_u = g(\sin \theta - dU/dx \cos \theta) - \frac{\partial}{\partial x}(P/\rho) + \frac{\partial}{\partial x}(\Gamma \frac{\partial U}{\partial x}) + \frac{\partial}{\partial y}(\Gamma \frac{\partial V}{\partial x}) \quad (3)$$

$$V \text{ 方程式: } \phi = V, \quad \Gamma = V_t + U, \quad S_v = -\frac{\partial}{\partial y}(P/\rho) + \frac{\partial}{\partial x}(\Gamma \frac{\partial V}{\partial y}) + \frac{\partial}{\partial y}(\Gamma \frac{\partial U}{\partial y}) \quad (4)$$

$$E \text{ (乱れエネルギー) の式: } \phi = E, \quad \Gamma = U_e/\alpha_E, \quad S_E = G - E \quad (5)$$

$$E \text{ (乱れの逆散率) の式: } \phi = E, \quad \Gamma = U_e/\alpha_E, \quad S_E = \frac{\epsilon}{\alpha_E} (C_1 G - C_2 E) \quad (6)$$

ここで、 G は乱れの発生率であり、 $G \equiv U_e \{ 2((\partial U / \partial x)^2 + (\partial V / \partial y)^2) + (\partial U / \partial y + \partial V / \partial x)^2 \}$

α_E, C_1, C_2 はモデル定数であり、 $\alpha_E = 1.0, \alpha_E = 1.3, C_1 = 1.44, C_2 = 1.92$ が標準値である。²⁾ 渦動粘性係数 Γ は $\Gamma = C_{\mu} \cdot E^{2/3}/\epsilon$ で与えられるが、 C_{μ} の値がこのモデルでは最も重要である。標準値は $C_{\mu} = 0.09$ であり、これは、十分にレイノルズ数 Re が大きい場合に成立する。 Re が小さい場合や壁面近傍では粘性があがくから、本研究では次の減衰関数を導入した。すなわち、

$$C_{\mu} \equiv 0.09 (1 - 0.95 \cdot \exp(-R_e/250)), \quad R_e \equiv R_e^3/U_e \quad (7)$$

3. 境界条件

- (1) 壁面条件: オリ格子点を y_p とすると、 $y_p^+ \equiv y_p U_e / \nu \geq 20$ となるようにする($y_p^+ \leq 20$ では先是減少するから、式(5)と(6)は不可とする)。① U_p は van Driest 因数から求め、② $V_p = 0$ 、③ R_p は、平衡式 $G_p = \alpha E_p$ ($\alpha \approx 1$) から $R_p / U_p^2 = (1 - \partial U_p / \partial y_p) / \sqrt{\alpha C_{\mu} \nu}$ で与えられる。なお、標準形では $\partial U_p / \partial y_p \ll 1, \alpha = 1$ とするから、 $R_p / U_p^2 = C_{\mu}^{-1/2} = 3.33$ と一定となる。④ $E_p = (C_{\mu} \epsilon^{2/3})^{2/3} \nu^{2/3} (1 - \partial U_p / \partial y_p)$ であり、対数則を使う標準形では $E_p = U_p^3 / (K y_p)$ と単純になる。
- (2) 自由水面条件: ダクト流では対称軸 ($y/h = 1$) で対称条件から U_a, R_a, E_a が計算される。自由水面では乱れが発生されるから、 $R_w = D_w \cdot R_a$ なる渦動係数 D_w を導入して R_w が与えられる。このとき、 $(dU / dy)_w = (-\bar{U} \bar{V})_a / U_a$ となる。

4. 計算手法

スタッガード格子を使い式(2)~(6)の5個の方程式を差分で解いた。計算手法はTEACHコードを修正したものである。x方向に水深の52倍まで格子をとり、初期断面の流速値は対数則を使った。 $x/h \geq 20$ ではほぼ一定値に収束し、十分に発達した雨水路等流の乱流特性が計算された。

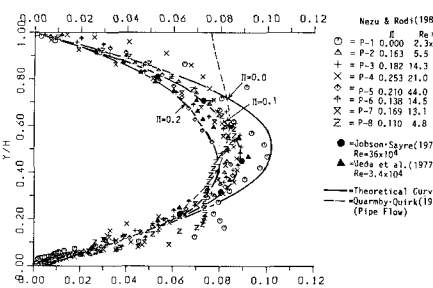
5. 自由水面の影響

図・7は、自由水面による乱れの減衰効果を検討するため、減衰係数 D_w を0.4から1.0に変化させた場合の渦動粘性係数 η_{v} を示すものであり、左図はレーザ流速計による実測値である。ダクト流では対称軸 $y/h=1$ で一定値をとり、計算値と実験値はよく一致する。雨水路乱流では自由水面に近づくと η_{v} が減少することが大きな特徴であり、これは D_w を導入することによってよく説明できる。図・2は、乱れエネルギーを反応する D_w の影響である。実線は半理論曲線 $\eta_{\text{v}}/\eta_{\text{v}^*} = 4.78 \times P(-2y/h)$ である。理論曲線(実験値とよく一致する)と計算値とは $D_w=0.8$ のときが最も一致がよいことがわかる。

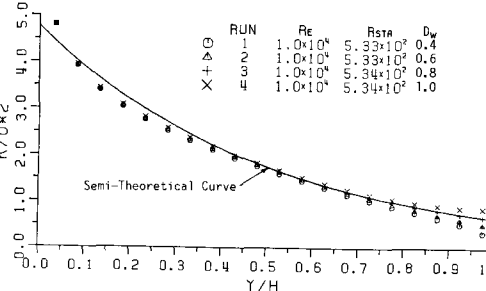
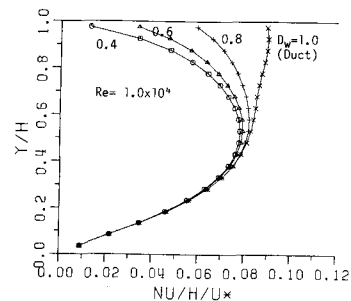
6. レイノルズ数の影響

$D_w=0.8$ とき、 $Re=2000$ から 10^6 まで変化させて計算を行った。図・3は平均流速分布の壁法則表示である。雨水路乱流は外部領域($y/h \geq 0.2$)で壁密には対数則らずれ、Log-Wake則を適用すべきことが指摘されているが、計算値でもこの特性を良好に説明している。図・4は、透散率 E の実験値と計算値との比較である。 $Re \geq 5000$ では両者の一致は非常によく、また半理論曲線ともよく一致し注目される。

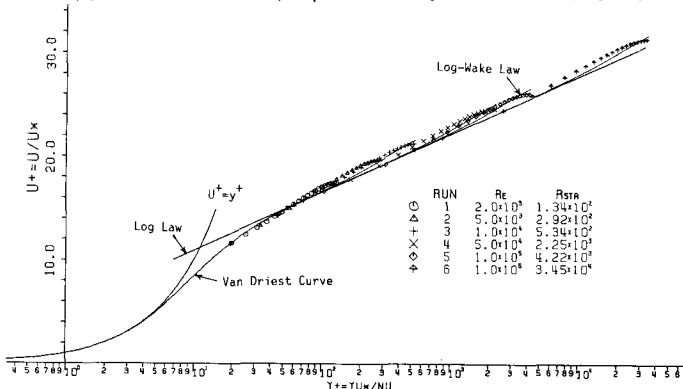
- <参考文献>
 1) 小林S(1986)東大生研報告
 2) Rodi(1980), IAHR, 3) Galkin-Rodi(1988)
 Phys. Chem. Hydro., 4) 中川・赤井津(1986)
 京大防災研年報 5) Nezu-Rodi(1986), ASCE



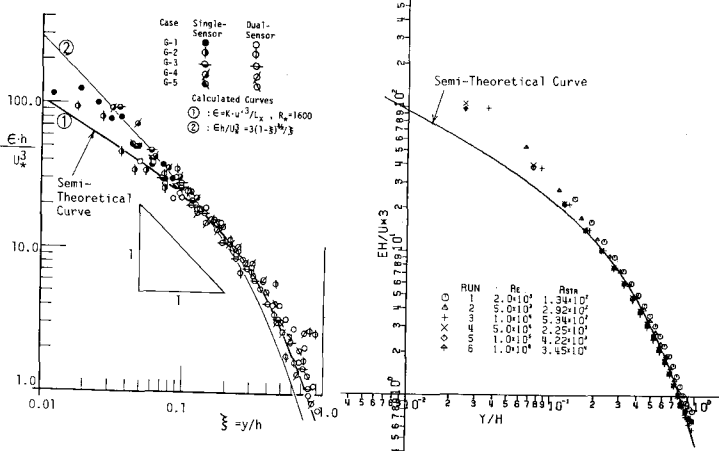
図・1 湍動粘性係数 η_{v} の分布(左図=実験値、右図=計算値)



図・2 乱れエネルギーに及ぼす自由水面の減衰効果



図・3 平均流速分布の壁法則表示



図・4 乱れの透散率 E (左図=実験値、右図=計算値)